

Fig. 2.14 Valores de k_c para curvas con ángulo central de 90°.

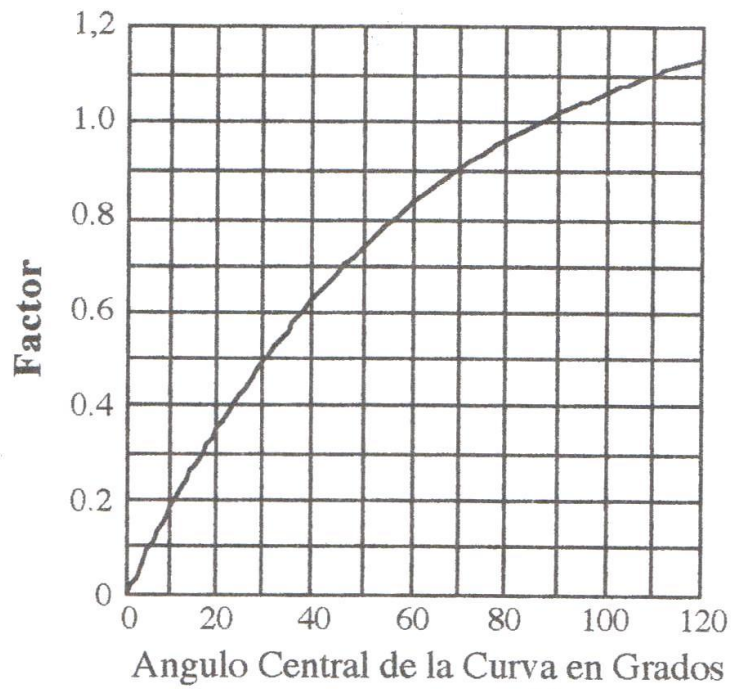
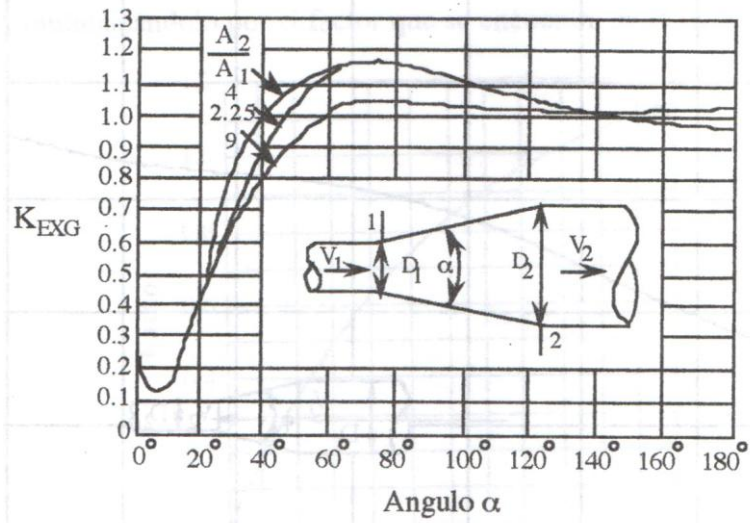
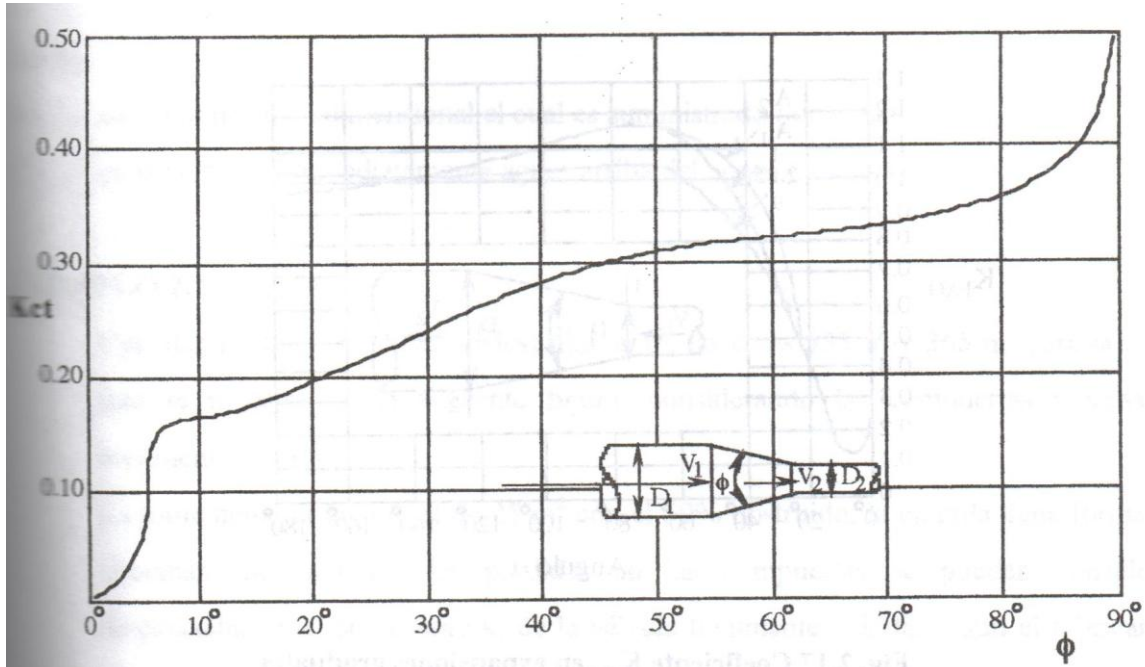


Fig. 2.15 Factor de corrección para diferentes ángulos.



✘ Fig. 2.17 Coeficiente K_{exg} en expansiones graduales.



✘ Fig. 2.16 Coeficiente k_α para contracciones graduales.

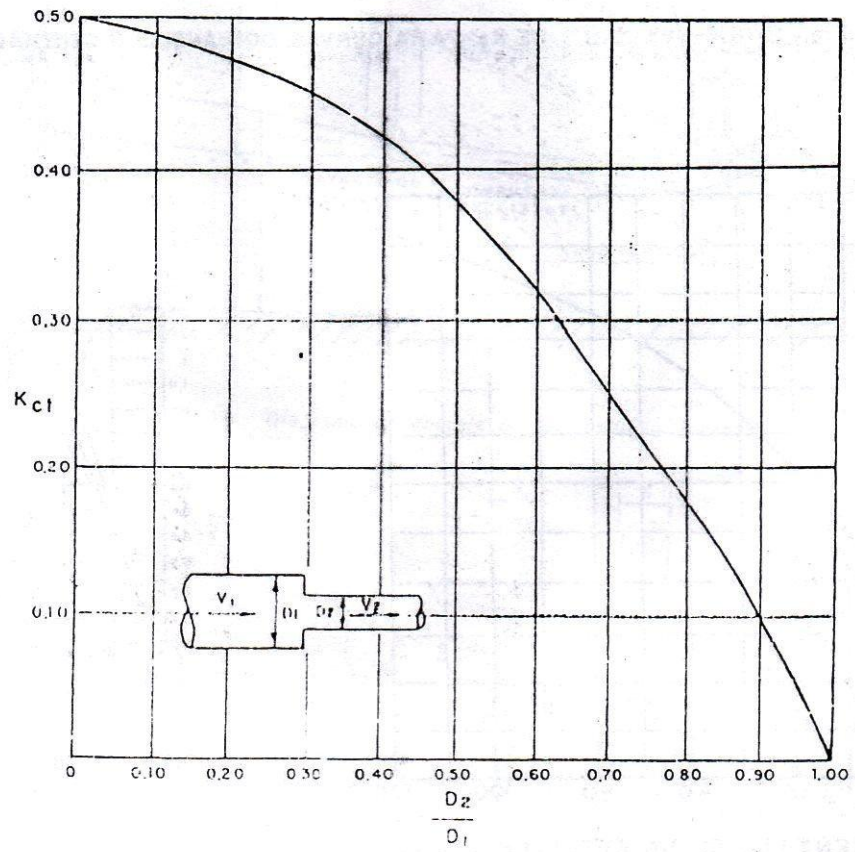


Fig - 2-20 Pérdidas en las contracciones bruscas (6).

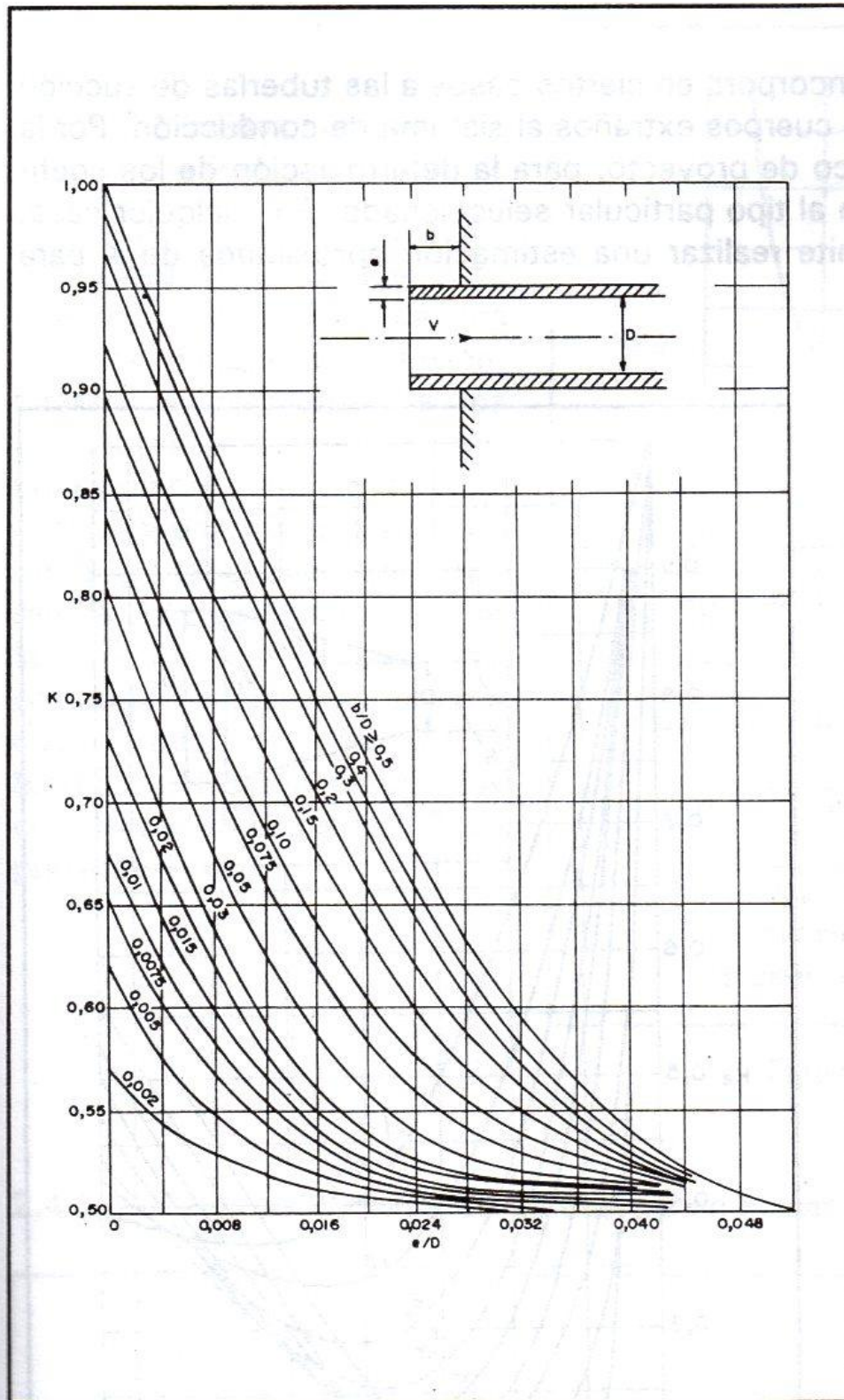
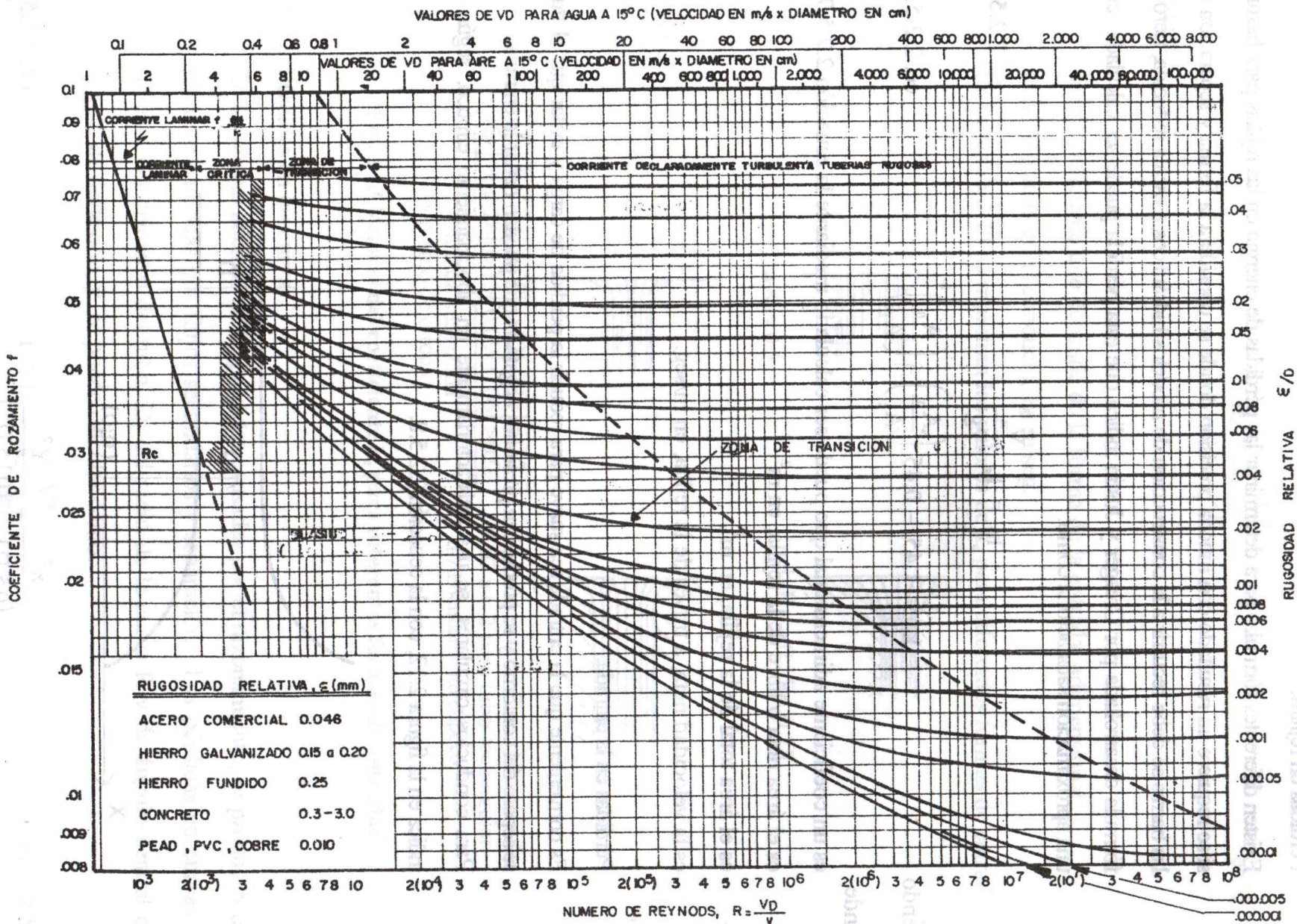


Figura 2.38 Coeficientes de Pérdida en Entradas que Sobresalen de las Paredes Internas de los Estanques [116]

Fig. 2.11 Diagrama de Moody.



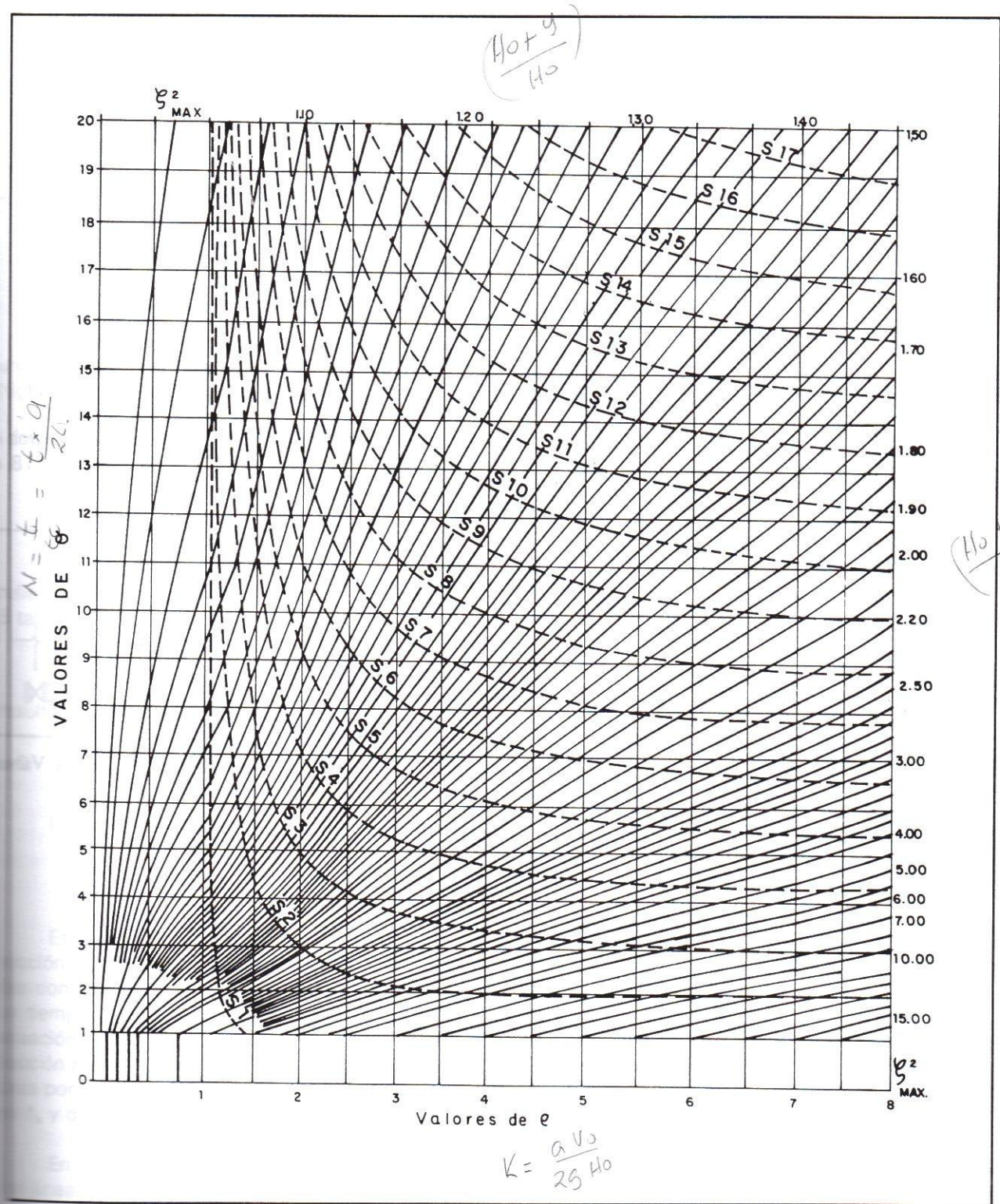


Figura 7.13 Diagrama de Allievi